オドメーターにおける真空圧・載荷荷重組合せによる粘性土の圧密変形特性

佐賀大学 理工学部 学生員 ○横山 和久 佐賀大学 理工学部 斎藤 昭則 佐賀大学 理工学部 正会員 柴 錦春

1. はじめに

真空圧密は有効な軟弱地盤改良法の一つである。真空圧密による地盤の変形特性は載荷圧密と違って、沈下と共 に内向きの側方変位が生じるい。この側方変位によって、改良領域周辺にクラックが発生し、周辺地盤に影響を与 えるので、設計の段階で地盤の変形量(沈下、側方変位)を予測することが必要となる。本研究はオドメーター条 件における室内真空・載荷荷重を組合せた圧密試験を 表1試験したケース

行い、試料の沈下量、土圧係数の変化を測定し、その 比較・検討によって試料の圧密変形特性における真空 圧と載荷荷重の割合と載荷速度の影響を明らかにする。 2. 圧密試験

試験は層別圧密試験機を用いて行った。この装置は 真空圧を加えることができ、試料に作用する水平土圧、 底部の過剰間隙水圧を測定できる。供試体の直径は

60mm、高さ 20mm である。使用した土は有明粘土(液

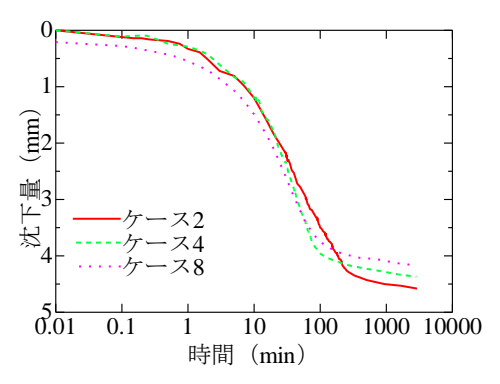
性限 w_r =120.5%、塑性限界 w_p =60.3%) であった。試験方法について、 まず、有明粘土を撹拌し、真空圧-100kPaで脱気する。脱気されたス ラリーを直径 60mm、高さ 60mm のモールドに入れ、20kPa の荷重 で両面排水条件で再圧密試料を作製する。圧密期間は24時間である。 その後再圧密試料を高さ 20mm にカットし、圧密試験の供試体になる。 次に真空圧-80kPa をかけ、 $80\sim120$ kPa の載荷荷重を段階的に加えて、 圧密試験を行う。測定項目は供試体の沈下量、底部の水圧(u_n)及び側 面の土圧(全応力)である。試験したケースを表1にまとめている。

3. 試験結果及び考察

載荷荷重 (p_L) (盛土等) は地盤の沈下と外向きの側方変位を引起 す。一方、真空圧(p_{vac})によって地盤の沈下と内向きの変形が発生 する。都市部で隣接施工の場合、地盤の側方変位量を抑制する技術が 求められる。概念的に載荷荷重と真空圧の組合せによって、地盤の側 方変位を抑制することが可能である。

(a)載荷速度の影響。図1にp_Lの載荷速度が異なるケースの沈下量を 比較している。ケース 8(即時載荷)試験結果は川口 2)によるものであ る。即時載荷の沈下速度が速かったが、試験した p_L の段階載荷の各ケ

ケース	真空圧 $p_{vac}(\mathrm{kPa})$	載荷荷重p _L (kPa)
1	-80	80(30 分毎に 20kpa)
2	-80	80(30 分毎に 10kPa)
3	-80	80(15 分毎に 10kpa)
4	-80	80(10 分毎に 10kPa)
5	-80	80(真空圧を加えた 10 分
		後 15 分毎に 10kPa)
6	-80	100(同上)
7	-80	120(同上)
8	-80	80(即時)2)



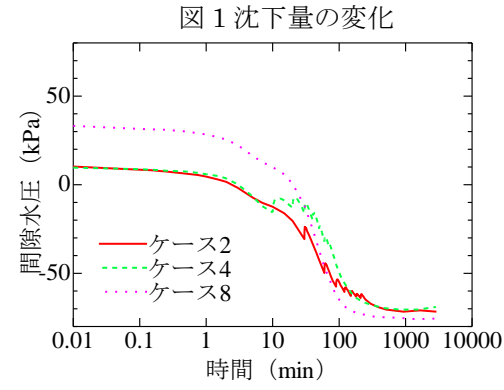


図2過剰間隙水圧の変化

ースの沈下曲線について明確な差が見られない。しかし、図・2と3にそれぞれ示している過剰間隙水圧 u_{h} (供試体 底部)と土圧係数(K)の変化に影響が及んでいる。土圧係数の算出において試料中の過剰間隙水圧の分布を放物 線と仮定③し、土圧計中心位置における間隙水圧を求め、これを用いて載荷・真空圧密における土圧計位置の水平 方向の有効応力(リングの拘束による部分)を求めた。そして土圧係数(K)は式(1)で計算した。

$$K = \frac{(\sigma_{h0} + \Delta \sigma_{h})}{(\sigma_{v0} + \Delta \sigma_{v})} \tag{1}$$

ここで σ'_{h0} 、 σ'_{v0} :初期水平、垂直有効応力、 $\Delta\sigma'_{h}$ 、 $\Delta\sigma'_{v}$:水平、垂直 応力増分である。式(1)で定義している土圧係数(K)は試料に内向きの 側方変位があるかどうかの直接指標である。供試体と圧密リング間 に隙間が生じたら、土圧計の測定値は真空圧(マイナス)になり、 ここでこのマイナス圧力を負のリングからの拘束圧と扱い、K値はマ イナスになる。つまり、マイナスK値は供試体とリング間に隙間が出 た指標になる。図 2、3 に示すように、載荷速度の増加に伴って u_b 値、 圧密過程のK値が増加した。しかし最終K値にあまり影響がなかった。 K値は静止土圧係数(Ko)より大きければ地盤中外向きの側方変位が 発生、 K_0 値より小さければ内向きの側方変位が生じる。正規圧密さ れた有明粘土の K_0 値を 0.5 ($K_0=1-\sin\phi'$ 、 $\phi'=30^\circ$)と仮定すると図 3 に示すように、即時載荷の場合、圧密の初期段階で $K > K_0$ 、段階 載荷の場合、K値の大部分はKoより小さい。同じ条件を現場に適用す れば、即時載荷の場合、外向きの側方変位が発生する可能性がある が、段階載荷の場合、内向きの変位が発生し、載荷速度が速いケー スの内向き変位量が小さいと考える。

(b)真空圧と載荷荷重の割合(p_L/p_{vac})の影響。真空圧-80kPa をかけて 10 分間圧密した後、15 分毎に 10kPa 載荷荷重を加え、最終的に載荷荷重(p_L) を 80、100、120kPa になる 3 ケース(ケース 5, 6, 7)のK値は図 4 に示している。この場合 p_L の増加によって最終K値も増加した。また、 p_L =100kPa と 120kPa のK値はゼロより大きく、供試体とリング間に隙間が発生しなかったと考える。川口 2 は真空圧密のみの最終K値に供試体に与えた初期垂直有効応力 σ'_{v0} の影響を検討し、 p_{vac} =-80kPa に対し σ'_{v0} は 100kPa 以上であれば、K値はゼロ

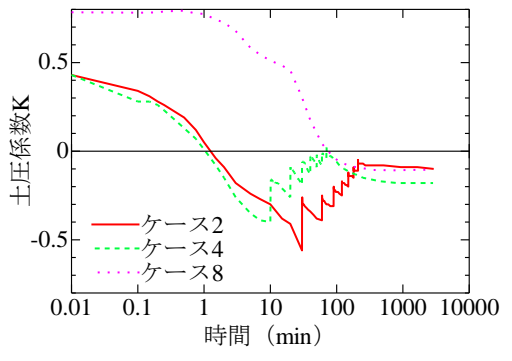


図3K値における載荷速度の影響

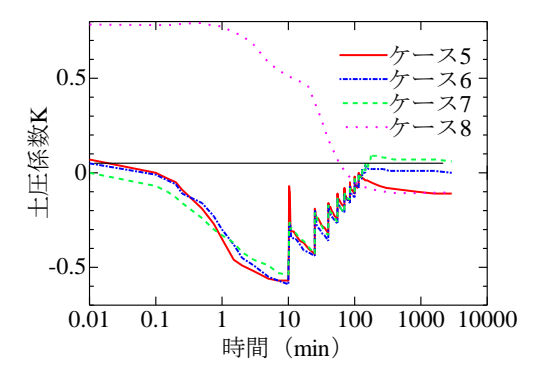


図 4 K値における p_L/p_{vac} の影響

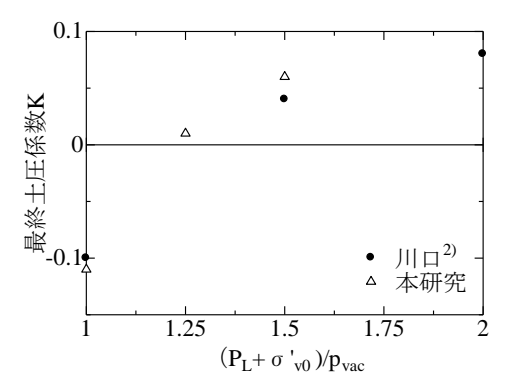


図5最終**K**値における載荷荷重と 真空圧の割合の影響

より大きくなる結果が報告された。川口 2 のデータと本研究の結果をKと($p_L+\sigma'_{v0}$)/ p_{vac} の関係で、整理したものを図 5 に示す。図 5 から供試体に作用する最終K値は($p_L+\sigma'_{v0}$)/ p_{vac} の値で決まることが分かる。

4. まとめ

オドメーターにおける真空圧(p_{vac})と載荷荷重(p_L)の組合せの圧密試験を行い、その結果の比較・検討により以下のことが分かった。(a) 載荷荷重の載荷速度は圧密過程の供試体に作用する土圧係数 (K) に影響を及ぼし、速度が速いほどK値が大きい。(b)供試体の初期垂直有効応力を σ'_{v0} とし、($p_L + \sigma'_{v0}$)/ p_{vac} 値は供試体に作用する最終K値を左右する。($p_L + \sigma'_{v0}$)/ p_{vac} 値が大きいほどK値が大きい。(c) p_L の載荷速度、 p_L / p_{vac} 値の調整によって地盤の側方変位を抑制することが可能である。

参考文献

- 1) Chai, J. C., Carter, J. P. and Hayashi, S. (2005). Ground deformation induced by vacuum consolidation. Journal of Geotechnical and Geoenvironmental Engineering, ASCE, Vol. 131, No. 12, pp. 1552-1561
- 2) 川口勇太郎 (2009) .真空圧密における地盤の変形特性に関する研究,佐賀大学大学院工学研究科都市工学専攻 修士論文
- 3) 日本工業標準調査会(2000)日本工業規格「土の定ひずみ速度載荷に圧密試験方法」(JIS 1227)